



دانشگاه شهرستان و بلوچستان

تحصیلات تکمیلی

پایان نامه کارشناسی ارشد مهندسی شیمی گرایش فرایندهای جداسازی

عنوان:

آنالیز CFD پارامترهای انتقال جرم در برج های تقطیر از نوع SCC

استاد راهنمای:

دکتر مرتضی زیودار

استاد مشاور:

دکتر رهبر رحیمی

۱۳۹۷ / ۹ / ۲۳

تحقیق و نگارش:

شیروان شیردل

(این پایان نامه از حمایت مالی معاونت پژوهشی دانشگاه سیستان و بلوچستان بهره مند شده است)

مهر ۱۳۸۷

۱۰۸۲۴۷

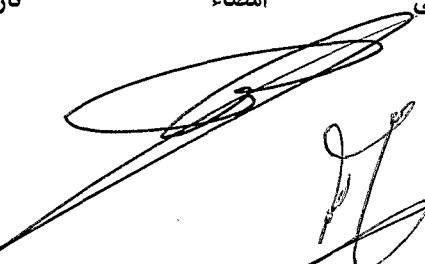
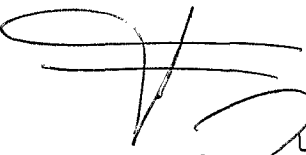
بسمه تعالیٰ

این پایان نامه با عنوان آنالیز CFD پارامترهای انتقال جرم در برج های نقطه از نوع SCC قسمتی از برنامه آموزشی دوره کارشناسی ارشد مهندسی شیمی توسط دانشجو شیروان شیردل تحت راهنمایی استاد پایان نامه دکتر مرتضی زیودار تهیه شده است. استفاده از مطالب آن به منظور اهداف آموزشی با ذکر مرجع و اطلاع کتبی به حوزه تحصیلات تکمیلی دانشگاه سیستان و بلوچستان مجاز می باشد.



شیروان شیردل

این پایان نامه ۸ واحد درسی شناخته می شود و در تاریخ ۱۴۰۰/۰۷/۲۷ توسط هیئت داوران بررسی و درجه گذاشته ... به آن تعلق گرفت.

نام و نام خانوادگی	امضاء	تاریخ
دکتر مرتضی زیودار		استاد راهنما:
دکتر رهبر رحیمی		استاد مشاور:
دکتر محمد رضا احسانی		داور ۱:
دکتر جعفر صادقی		داور ۲:
دکتر عبدالحمید بحرپیما نماینده تحصیلات تکمیلی:		



دانشگاه شهرستان

تعهدنامه اصالت اثر

اینجانب شیروان شیردل تأیید می کنم که مطالب مندرج در این پایان نامه حاصل کار پژوهشی اینجانب است و به دستاوردهای پژوهشی دیگران که در این نوشه از آن استفاده شده است مطابق مقررات ارجاع گردیده است. این پایان نامه پیش از این برای احراز هیچ مدرک هم سطح یا بالاتر ارایه نشده است.

کلیه حقوق مادی و معنوی این اثر متعلق به دانشگاه سیستان و بلوچستان می باشد.

نام و نام خانوادگی دانشجو: شیروان شیردل

امضاء

این اثر ناچیز را تقدیم می کنم به:

پدر و مادر مهربان و

خانواده عزیزم

سپاسگزاری

اکنون که به لطف و یاری خداوند تحقیق و نگارش این پایان نامه به اتمام رسیده است، بر خود لازم می‌دانم که از همه دوستان و عزیزانی که مرا در تهیه این تحقیق یاری داده اند کمال تشکر و قدردانی را بجا آورم. قبل از هر چیز از پدر و مادر مهربان و خانواده‌ی دلسوژم که در تمام مراحل زندگی مرا یاری نموده اند تشکر میکنم، که بدون یاری ایشان پیمودن چنین مسیری هرگز میسر نبود، امیدوارم که توانسته باشم قطه‌ای ناچیز از اقیانوس بی کران محبتshan را جبران کرده باشم، از استاد گرانقدر دکتر زیودار که راهنمایی این پروژه را به عهده داشتند و در طول این تحقیق از راهنمایی‌های ایشان بهره برده ام مراتب تشکر و قدردانی را بجا می‌آورم، همچنین از استاد گرامی دکتر رهبر حبیمی که در انجام این تحقیق مشاور بنده بوده اند، تشکر و قدردانی می‌نمایم، از تمامی استادی بزرگوارم که در طول تحصیل همواره راهنمای و مشوق بنده بوده اند سپاسگزارم، تشکر ویژه‌ای دارم از جناب آقای دکتر مسعود حق شناس فرد که در انجام این پروژه از راهنمایی‌های ایشان بهره‌ی کافی را بردم، از دوستان عزیز طالب زارعی، علی ولی پور طبیبی، سید حسین حسینی، اسلام کاشی، ایمان خنsha، ایمان محمدی، جواد امیدی، لیلا پور جعفر، سید سجاد سجادی، مهرداد کاشفی، سید علی سجادیان، سید محمد سجادی، مسعود سلیمانی نائینی و سایر دوستان عزیزم که در انجام این تحقیق مرا یاری کرده اند بسیار تشکر و قدردانی می‌کنم.

از خداوند متعال برای همه این عزیزان آرزوی موفقیت و سریلنگی را تمامی مراحل زندگیشان دارم.

شیروان شیردل

۱۳۸۷ مهر

چکیده:

برج های نقطیر سینی دار از نوع مخروط چرخان (SCC)^۱ یکی از انواع برجهای نقطیر می باشند که کاربرد آنها در فرایند های جداسازی به خصوص در صنایع غذایی بسیار رو به افزایش است. پیچیدگی هندسی، رژیم های جریان متفاوت و مکانیزم های مختلف انتقال جرم در آنها باعث شده که به کمک دینامیک سیالات محاسباتی (CFD)^۲ به دنبال توسعه هر چه بیشتر و بهینه سازی اینگونه برج ها باشند. اکثر تحقیقات گذشته مربوط به آنالیز CFD برجهای SCC برای سیستم آب / هوا بوده است. به همین دلیل کاربرد این نتایج برای سیستم های واقعی با اشکال مواجه است. در این تحقیق پارامتر های انتقال جرم از جمله ضخامت فیلم مایع، ضرایب انتقال جرم، HETP و بازدهی جداسازی برای یک سیستم دفع توسط بخار^۳ شامل محلول آب / اتانول در مقیاس پایلوت در برجی با قطر داخلی ($D_0 = ۰/۳۴۷\text{ m}$) بررسی شده است. فاز مایع شامل آب و $۲/۲۵$ درصد مولی اتانول و فاز گاز متشكل از بخار آب و ۹ درصد مولی اتانول می باشد. برای بررسی و ارزیابی پارامترهای هیدرودینامیکی و انتقال جرم در برجهای SCC از مدل هایی استفاده شده است که بر اساس معادلات ناویر استوکس و معادلات انتقال جرم پایه ریزی شده اند و روابط با ابزار دینامیک سیالات محاسباتی (CFD) و توسط نرم افزار CFX-10 ارزیابی شده اند. برای اطمینان از صحت هیدرودینامیک مدل، شبیه سازی افت فشار خشک برای جریان هوا و افت فشار دو فازی برای شدت جریان ثابت آب برابر با (kg/min) ۱ در شدت جریان های متفاوت گاز و در سرعت چرخش ۵۵۰ rpm انجام شده است. نتایج بدست آمده نشان می دهد که با افزایش فاصله شعاعی از محور به تدریج از میزان ضخامت فیلم مایع کاسته می شود. این یافته با نتایج تجربی نیز مطابقت می کند. بیشترین مقدار ضخامت فیلم مایع کمتر از (mm) ۱ و در نزدیکی محور می باشد. ضرایب انتقال جرم در فاز مایع و در فاز گاز با افزایش سرعت جریان به میزان اندکی افزایش یافته و می توان گفت که تقریبا بدون تغییر باقی میمانند. مقدار متوسط این ضرایب در فاز مایع و گاز به ترتیب $۰/۰۱۹$ و $۰/۰۴۲$ (A^{-5}) می باشد. یکی از پارامتر ها برای طراحی برج HETP^۴ یا ارتفاع معادل یک

^۱- Spinning Cone Column

^۲- Computational Fluid Dynamics

^۳- Steam Stripping

^۴- Height Equivalent to Theoretical Plate

سینی تعادلی می باشد، که در این تحقیق مقدار آن پیش بینی شده است. HETP، با افزایش سرعت گاز افزایش می یابد، و محدوده‌ی تغییرات آن از (m) 0.022 تا 0.024 می باشد. بازده جداسازی به کمک راندمان سورفری در سه سرعت چرخشی شفت و سینی چرخان 550 ، 750 و 1000 rpm، محاسبه و با مقادیر تجربی مقایسه شده است، نتایج حاصل نشان می دهد که همواره با افزایش مقدار جریان بخار (Strip Ratio) راندمان کاهش می یابد، همچنین مقایسه‌ی راندمان‌های بدست آمده در سه سرعت چرخش بیانگر این نکته است که با افزایش سرعت چرخش شفت میزان راندمان افزایش می یابد. کمترین راندمان برابر با 8% در $1/1.27$ و $RPM = 550$ و بیشترین راندمان برابر با 15% در $1/1.16$ و $RPM = 1000$ محاسبه شده است. متوسط خطابین نتایج تجربی و شبیه سازی شده 22% می باشد.

کلمات کلیدی: برج سینی دارمخروطی چرخان (SCC)، CFD، ضخامت فیلم مایع، ضرایب انتقال جرم،

راندمان سورفری فاز گاز

فهرست مطالب

صفحه	عنوان
۱	پیشگفتار.....
۲	مقدمه.....
۳	اهداف کلی پروژه
۴	نوآوریهای ارایه شده در این تحقیق.....
۴	ساختار پروژه.....
۵	فصل اول: مروری بر برج های سینی دار مخروطی چرخان Spinning Cone
۵	Columns
۶	۱-۱ - مقدمه.....
۶	۲-۱ - کاربردهای برج SCC.....
۷	۳-۱ - بررسی جریان گاز و مایع.....
۹	۴-۱ - تاریخچه.....
۱۰	۵-۱ - مکانیزم های فیزیکی جریان گاز و مایع.....
۱۱	۶-۱ - رژیم جریان.....
۱۱	۱-۶-۱ - رژیم جریان pre loading.....
۱۲	۲-۶-۱ - رژیم جریان loading.....
۱۲	۳-۶-۱ - رژیم جریان flooding.....
۱۳	۷-۱ - اعداد رینولدز.....
۱۴	۸-۱ - افت فشار.....
۱۵	۹-۱ - نمودارهای (Sherwood-Leva-Eckert) SLE.....
۱۸	۱۰-۱ - انتقال جرم
۱۸	۱۱-۱ - ضخامت لایه مایع
۲۱	۱۲-۱ - نتیجه گیری.....
۲۲	فصل دوم: مروری بر پژوهش‌های انجام شده در زمینه آنالیز CFD برجهای SCC
۲۳	۱-۲ - مقدمه.....
۲۳	۲-۲ - تاریخچه استفاده از CFD برای مدل سازی برجهای SCC.....
۳۴	۳-۲ - نتیجه گیری.....
۳۵	فصل سوم: دینامیک سیالات محاسباتی
۳۶	۱-۳ - مقدمه.....

۳۷ دینامیک سیالات محاسباتی (CFD) -۲-۳
۳۷ روش های حل در دینامیک سیالات محاسباتی -۳-۳
۴۰ معادلات حاکم بر جریان سیال -۴-۳
۴۰ ۱-۴-۳
۴۱ ۲-۴-۳
۴۳ مدل های جریان آشفته -۳-۴-۳
۴۸ مدل های نیروی پسا -۴-۴-۳
۵۱ ۵-۴-۳
۵۴ ۵-۳
۵۶ نتیجه گیری -۶-۳
۵۷ فصل چهارم: مدلسازی سیستم
۵۸ ۱-۴
۵۹ ۲-۴
۵۹ ۳-۴
۶۰ ۱-۳-۴
۶۱ ۲-۳-۴
۶۱ ۱-۲-۳-۴
۶۵ ۴-۴
۶۶ ۱-۴-۴
۶۸ ۲-۴-۴
۷۰ ۳-۴-۴
۷۱ ۱-۳-۴-۴
۷۱ ۲-۳-۴-۴
۷۲ ۳-۴-۴
۷۴ ۴-۴-۴
۷۴ ۵-۴
۷۵ فصل پنجم: تحلیل نتایج
۷۶ ۱-۵
۷۶ ۲-۵
۷۷ ۱-۲-۵
۷۸ ۲-۲-۵
۷۹ ۳-۵
۷۹ ۱-۳-۵
۸۲ ۲-۳-۵
۸۴ ۳-۳-۵
۸۶ ۴-۳-۵
۹۱ ۴-۵

۹۳	فصل ششم: نتیجه گیری و پیشنهادها
۹۴	۱-۶ - مقدمه
۹۴	۲-۶ - خلاصه نتایج حاصل از آنالیز CFD افت فشار
۹۵	۳-۶ - خلاصه نتایج حاصل از آنالیز CFD انتقال جرم
۹۵	۱-۳-۶ - نتایج حاصل از اندازه گیری ضخامت فیلم مایع
۹۵	۲-۳-۶ - نتایج حاصل از پیش بینی ضرایب انتقال جرم و HETP
۹۶	۳-۳-۶ - نتایج حاصل از محاسبه بازدهی جداسازی به کمک راندمان مورفری
۹۶	۴-۶ - پیشنهادها
۹۷	مراجع
۱۰۲	پیوست ها
۱۰۳	پیوست (الف) - معادلات ناویر استوکس
۱۰۶	پیوست (ب)- الگوریتم حل معادلات در نرم افزار CFX
۱۰۹	پیوست (ج): نمونه ای از شرایط مرزی استفاده شده برای محاسبات انتقال جرم
۱۱۱	پیوست (د)- کدهای مربوط به داده های خروجی نرم افزار CFX
۱۳۵	پیوست(ه)- مراحل انجام گرفته در نرم افزار CFX برای تحلیل انتقال جرم
۱۴۳	پیوست(و) : یک نمونه از محاسبات HETP
۱۴۶	پیوست(ز) : یک نمونه از محاسبات راندمان مورفری
۱۴۸	پیوست (ح)- چکیده مقالات

فهرست جداول ها

صفحه	عنوان جدول
۱۴	جدول ۱-۱. تعیین آغاز اولین ناپایداری و آشفتگی کاملا توسعه یافته، بوسیله مقادیر بحرانی از اعداد رینولدز.....
۱۷	جدول ۱-۲. مقادیر پارامترهای هندسی در مقیاس پایلوت.....
۲۶	جدول ۱-۳ نتایج حاصل از شبیه سازی CFD برای بدست آوردن ثوابت تجربی k_{rot} و k_{reg} و مقایسه با مقادیر تجربی.....
۲۹	جدول ۲-۱ اندازه های تغییرات در هندسه SCC.....
۸۷	جدول ۲-۲ اندازه های تغییرات در هندسه HETP در حالت تجربی و CFD.....

فهرست شکل ها

عنوان شکل		صفحه
شکل ۱-۱. شمای کلی برج SCC و سینی های آن	۸	
شکل ۱-۲. بخشی از مسیر جریان گاز و مایع در برج SCC	۸	
شکل ۱-۳. نمایش سطح مقطع بحرانی جریان گاز و مایع	۱۱	
شکل ۱-۴. مقایسه بین رژیم های جریان flooding و loading و همچنین تغییرات افت فشار در این رژیم ها	۱۳	
شکل ۱-۵. تغییرات افت فشار در شدت جریان های مختلف گاز و مایع	۱۵	
شکل ۱-۶. شمای هندسی مدل مورد بررسی	۱۷	
شکل ۱-۷. منحنی طغیان برای برج SCC در مقیاس های مختلف	۱۸	
شکل ۱-۸. شماتیک دیاگرام دستگاه برای اندازه گیری ضخامت فیلم مایع	۱۹	
شکل ۱-۹: منحنی کاهش ضخامت فیلم مایع در طول سینی مخروطی	۲۰	
شکل ۱-۱۰: مقادیر متوسط زمانی از افت فشار پیش بینی شده با CFD در مقایسه با مقادیر تجربی	۲۴	
شکل ۲-۱. سیستم جریان واقعی در SCC	۲۷	
شکل ۲-۲: مقادیر ضرایب انتقال جرم پیش بینی شده با CFD در مقایسه با مقادیر تجربی	۲۸	
شکل ۲-۳: تغییرات در هندسه در SCC	۲۹	
شکل ۲-۴: توزیع ضریب انتقال جرم حجمی در گلوبه داخلی و بیرونی SCC	۳۰	
شکل ۲-۵: توزیع ضریب انتقال جرم حجمی مؤثر در SCC	۳۱	
شکل ۲-۶: تغییرات افت فشار با تغییر در وسعت گلوبه و دبی سیال در SCC	۳۱	
شکل ۲-۷: افزایش نوسانات فشاری متناسب با عدد رینولدز	۳۲	
شکل ۲-۸: تغییرات ضریب انتقال جرم حجمی با افزایش سایز برج	۳۲	
شکل ۲-۹: تغییرات ضریب انتقال جرم اسپری و فیلمی با سایز برج	۳۳	
شکل ۲-۱۰: تغییرات افت فشار با سرعت جرمی گاز در سایز های مختلف	۳۳	
شکل ۲-۱۱: شمایی از اندازه های گردابه ها و ارتباط آن ها با مدل سازی های مختلف	۴۴	
شکل ۲-۱۲: مدل های موجود برای توصیف جریان های درهم	۴۵	
شکل ۲-۱۳: روش های مختلف حل عددی چند فازی	۵۲	
شکل ۲-۱۴: مراحل حل در نرم افزار CFX	۵۵	
شکل ۲-۱۵: مراحل انجام گرفته برای آنالیز CFD یک برج SCC	۶۶	
شکل ۲-۱۶: مدل پیشنهادی برای انجام محاسبات	۶۷	
شکل ۲-۱۷: انواع المانهای قابل قبول در نرم افزار CFX	۶۸	

۶۹ شکل ۴-۴ بررسی استقلال از مش توسط پارامتر فشار
۶۹ شکل ۵-۴ مدل مش بندی شده
۷۳ شکل ۴-۶ شرایط مرزی برای انتقال جرم
۷۸ شکل ۱-۵ تغییرات افت فشار در برج با افزایش شدت جریان گاز
۷۹ شکل ۲-۵ تغییرات افت فشار با افزایش شدت جریان گاز در مقیاس لگاریتمی
۸۰ شکل ۳-۵ تغییرات افت فشار با افزایش شدت جریان گاز در سرعت جریان ثابت مایع برابر با ۱ کیلو گرم بر دقیقه
۸۱ شکل ۴-۵ تغییرات سرعت مایع با افزایش فاصله شعاعی
۸۱ شکل ۵-۵ تغییرات ضخامت فیلم با افزایش فاصله شعاعی
۸۲ شکل ۶-۵ تغییرات ضریب انتقال جرم با افزایش فاصله شعاعی
۸۲ شکل ۷-۵ - تغییرات ضخامت فیلم مایع و ضرایب انتقال جرم در طول شعاع
۸۳ شکل ۸-۵ - مقایسه ضخامت فیلم مایع (سیستم آب-هوای CFD) بر حسب فاصله شعاعی از محور
۸۴ شکل ۹-۵ - تغییرات ضرایب انتقال جرم با سرعت جریان برای سیستم دفع بخار شامل آب / اتانول ..
۸۵ شکل ۱۰-۵ - کانتور های ضریب انتقال جرم در فاز گاز در یک جریان ثابت
۸۷ شکل ۱۱-۵ - تغییرات HETP بر حسب سرعت گاز برای $(m/s) = 0.000628 \cdot U$
۸۹ شکل ۱۲-۵ - تغییرات غلظت مولی اتانول در فاز گاز در طول مرحله
۸۹ شکل ۱۳-۵ - تغییرات غلظت جرمی اتانول در فاز گاز در طول مرحله
۹۰ شکل ۱۴-۵ - مقایسه راندمان مورفری در سرعت چرخش ۵۵۰ rpm
۹۱ شکل ۱۵-۵ - مقایسه راندمان مورفری در سرعت چرخش ۷۵۰ rpm
۹۱ شکل ۱۶-۵ - مقایسه راندمان مورفری در سرعت چرخش ۱۰۰۰ rpm
۹۲ شکل ۱۷-۵ - اثر افزایش سرعت چرخش بر راندمان مورفری

فهرست علایم

نشانه	علامت
سطح مقطع ذره کروی	$A(m^2)$
سطح کل یک مخروط چرخان درون برج	$A_1(m^2)$
سطح کل یک مخروط ثابت درون برج	$A_2(m^2)$
سطح مقطع بحرانی جریان گاز	$A_{min}(m^2)$
سطح مقطع جریان مایع پیوسته	$A_{Lk}(m^2)$
سطح مؤثر بین فازها	$a_e(1/m)$
نیروی جاذبه	$B(N)$
ضریب ثابت	C_μ
ضریب کلی نیروی پسا	C_D
ضریب نیروی پسا در فصل مشترک	C_{GL}
ضریب نیروی پسا در فصل مشترک	C_{LG}
ضریب نفوذ مولکولی در فاز مایع	$D_L(m/s^2)$
ضریب نفوذ مولکولی در فاز گاز	$D_G(m/s^2)$
قطر ذرات مایع	$d_p(m)$
فاکتور آکندگی	$F(m^{-1})$
نیروی پسا	$F(N/m^3)$
شتاب جاذبه زمین	$g(m/s^2)$
شدت جرمی گاز بر حسب واحد سطح	$G(kg/m^2 s)$
شدت جرمی گاز	$\bar{G}(kg/s)$
ارتفاع برج	h

پارامتر وابسته به گرانروی موثر	H
پارامتر وابسته به گرانروی موثر	J
گرانروی توده	$K(kg/m^3)$
ضریب انتقال جرم در فاز گاز	$k_G(m/s)$
ضریب انتقال جرم در فاز مایع	$k_L(m/s)$
ثابت تجربی مشخص کننده ی رژیم جریان	k_{reg}
ثابت تجربی مشخص کننده ی بازده گریز از مرکز چرخنده	k_{rot}
انرژی سینتیک اغتشاش	$k(J)$
عامل بارگذاری	K_{Load}
شدت جرمی مایع	$\bar{L}(kg/s)$
شدت جرمی مایع بر حسب واحد سطح	$L(kg/m^2 s)$
طول اختلاط درهمی	$l_T(m)$
جرم جزء i ام انتقال یافته از فاز β به فاز α	$\dot{m}_{\alpha\beta}^i$
وزن ملکولی جزء A	$M_A(kg/mol)$
تعداد مراحل برج	N
تعداد مجموعه سینی های مخروطی	N_{st}
فشار	P(Pa)
ارتفاع سینی(فاصله بین دو سینی ثابت متواالی یا دو سینی متحرک متواالی)	Pitch(m) یا P_C

دبي جريان مایع پیوسته	$Q_{LC} (\text{m}^3 \text{ s}^{-1})$
دبي جريان مایع پراکنده	$Q_{LD} (\text{m}^3 \text{ s}^{-1})$
شعاع هیدروليكى	$R_H(m)$
واحد سرعت چرخشى	rpm (revolution/min)
مشخصه فاصله شعاعى	$r_0(m)$
فاصله شعاعى در امتداد سطح سيني	$r(\text{m})$
شعاع داخلی سيني چرخان	$R_{SI}(m)$
شعاع خارجي سيني چرخان	$R_{SO}(m)$
شعاع داخلی سيني ثابت	$R_{FI}(m)$
شعاع داخلی برج	$R_C(m)$
فاصله بين يك مخروط ثابت و متحرک	$R_H(m)$
شعاع محور چرخان (شفت)	$R_S(m)$
زمان	$t(\text{s})$
سرعت حد ذرات مایع	$U_T(\text{m/s})$
بردار سرعت	$\vec{U}(\text{m/s})$
سرعت حقيقي	$U(\text{m/s})$
متوسط سرعت	$u_{av}(\text{m/s})$
سرعت مایع	$U_L(\text{m/s})$
سرعت گاز	$U_G(\text{m/s})$
سرعت مولی در فاز مایع	$U_{LM}(\text{kmol/s})$
سرعت مولی در فاز گاز	$U_{GM}(\text{kmol/s})$
سرعت مشخصه	$u_T(\text{m/s})$
حجم اشغال شده توسط فاز مایع	$V_L(\text{m}^3)$
حجم اشغال شده توسط فاز گاز	$V_G(\text{m}^3)$
سرعت	$\nabla(\text{m/s})$
پaramتر جريان	X
پaramتر ظرفيت	Y
جزء مولی جسم فرارتر در فصل مشترك فاز مایع و بخار	x_A^I
جزء مولی جسم فرارتر در فصل مشترك فاز مایع و بخار	y_A^I
جزء مولی جسم A در فاز مایع	X _A
جزء مولی جسم A در فاز بخار	y _A
جزء مولی تعادلی جسم A در فاز بخار	y_A^*

ارتفاع معادل یک مرحله تعادلی	HETP(m)
ارتفاع واحد انتقال	HTU(m)
عدد بدون بعد مورتون	M
عدد بدون بعد آتووس	Eo
عدد بدون بعد اشمیت	Sc
عدد روسبی ، بدون بعد	R ₀
عدد بدون بعد رینولدز	Re
زاویه ای است که مخروط با دیواره قایم می سازد	θ
نسبت دانسیته آب به مایع	ψ
دانسیته بخار	$\rho_G(kg/m^3)$
دانسیته مایع	$\rho_L(kg/m^3)$
سرعت چرخشی بخش چرخان	$\omega_{rotor}(rpm)$
گرانروی ملکولی	$\mu(kg/m.s)$
ضریب پخش برای جزء حجمی	$\Gamma(kg/m.s)$
افت فشار یک مرحله	$\Delta P_{stage}(Pa)$
افت فشار کل برج	$\Delta P_t(Pa)$
افت فشار برج	$\Delta p(Pa)$
کشش سطحی	$\sigma(N/m)$
نسبت ضریب زاویه خط تعادل به خط تبادل، m شیب خط تعادل	λ
ویسکوزیته سینماتیکی	$v(m/s^2)$
تانسور تنش	$\tau(N/m^2)$
جزء حجمی فاز α	γ_α
چگالی سیال	$\rho(kg/m^3)$
گرانروی موثر سیال	$\mu_e(kg/m.s)$
گرانروی ملکولی آب	$\mu_{ref}(kg/m.s)$
تانسور شاخص	δ
گرانروی آشفتگی	$\mu_T(kg/m.s)$
مشخصه شعاعی بدون بعد	η
فراریت نسبی	α

پیشگفتار

مقدمه

عملیات جداسازی یکی از مهمترین عملیات‌هایی است که در یک مجموعه شیمیایی انجام می‌گیرد. یکی از مهمترین روش‌های جداسازی عملیات تقطیر می‌باشد. تقطیر به راحتی در دما و فشار مناسب انجام پذیر بوده و بصورت چند مرحله‌ای در می‌آید. در عملیات تقطیر، جداسازی بر اساس فارايت نسبی اجزاء صورت می‌گیرد. برجهای تقطیر در حالت کلی به دو نوع سینی دار و آکنده تقسیم می‌شود. یکی از انواع برجهای تقطیر سینی دار، برج تقطیر با سینی‌های مخروطی چرخان^۱ (SCC) می‌باشد که در این پروژه مورد بررسی قرار می‌گیرد.

برای طراحی بهینه‌ی برجهای SCC پارامترهای زیادی باید مورد توجه قرار گیرند، مثل پارامترهای مربوط به انتقال جرم و پارامترهای هیدرودینامیکی برج. از جمله پارامترهای موثر بر عملکرد برج می‌توان به افت فشار خشک، افت فشار دو فازی و بازده انتقال جرم اشاره کرد. به طور کلی بررسی پارامترهای هیدرودینامیکی و پارامترهای مربوط به انتقال جرم برای بهینه‌سازی و کنترل این برجها بسیار مهم می‌باشد.

^۱ Spinning Cone Column

اهداف کلی پروژه:

اهداف کلی که در این تحقیق دنبال می شوند در واقع درک دقیق تر و بهتری از هیدرودینامیک و به خصوص انتقال جرم برای یک جریان دو فازی در برج های SCC می باشد. به همین منظور از دینامیک سیالات محاسباتی (CFD)^۱ برای تحلیل این جریان و محاسبات مقادیر افت فشار و پارامتر های انتقال جرم بهره برده شده است. در واقع هدف اصلی در این تحقیق بدست آوردن بازده جداسازی فرایند Steam Stripping فاز مایع شامل آب و اتانول می باشد که در همین راستا مباحثی چون خhamat فیلم مایع و پارامتر های انتقال جرم مانند ضرایب انتقال جرم و ارتفاع معادل یک سینی تعادلی نیز بررسی شده است. در بخش شبیه سازی، معادلات پیوستگی، اندازه حرکت و انتقال جرم در حالت پایا برای محاسبه ای توزیع فشار، سرعت و غلظت فازها توسط نرم افزار CFX-10 مورد تجزیه و تحلیل قرار گرفته اند. اکثر تحقیقات گذشته مربوط به آنالیز CFD برجهای SCC برای سیستم آب / هوا بوده است. به همین دلیل کاربرد این نتایج برای سیستم های واقعی با اشکال مواجه است. در این تحقیق پارامتر های انتقال جرم و بازده ای جداسازی برای یک سیستم دفع توسط بخار شامل محلول آب / اتانول در مقیاس پایلوت در برجی با قطر داخلی ($D_e = 0.347 \text{ m}$) بررسی شده است.

نوآوریهای ارایه شده در این تحقیق

همانگونه که ذکر شد، هدف از این تحقیق محاسبه بازده و ضرایب انتقال جرم در یک برج SCC در مقیاس پایلوت توسط دینامیک سیالات محاسباتی می باشد.

در مجموع وجود تمایز این تحقیق با پژوهش‌های پیشین انجام گرفته عبارتند از:

- ۱- در اغلب تحقیقات پیشین مدل مورد بررسی جهت آنالیز انتقال جرم در مقیاس آزمایشگاهی می باشد، در حالیکه در تحقیق حاضر مقیاس پایلوت بررسی شده است.
- ۲- تخمین بازده جداسازی در برجهای SCC توسط آنالیز CFD برای نخستین بار در این تحقیق ارایه می گردد.
- ۳- سیستم مورد بررسی در این تحقیق Steam Stripping آب/اتanol می باشد در حالیکه در تحقیقات قبلی سیستم شامل آب و هوا یا آب و بخار بوده است.

^۱. Computational Fluid Dynamics